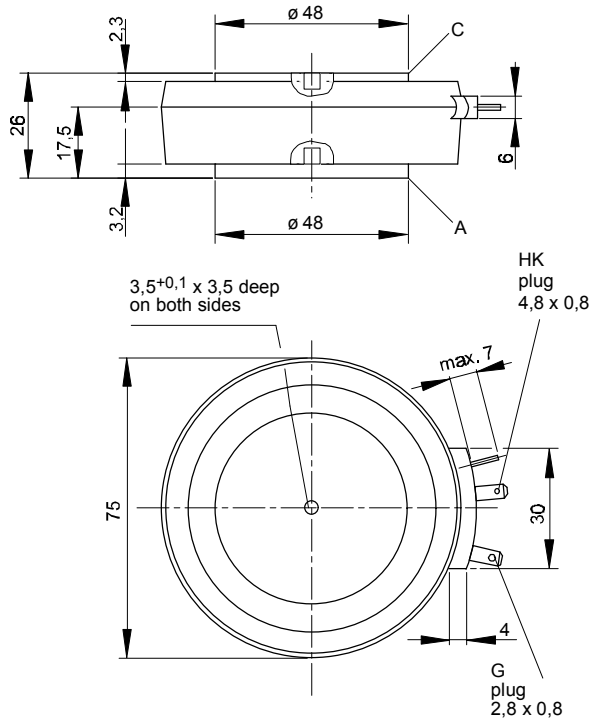




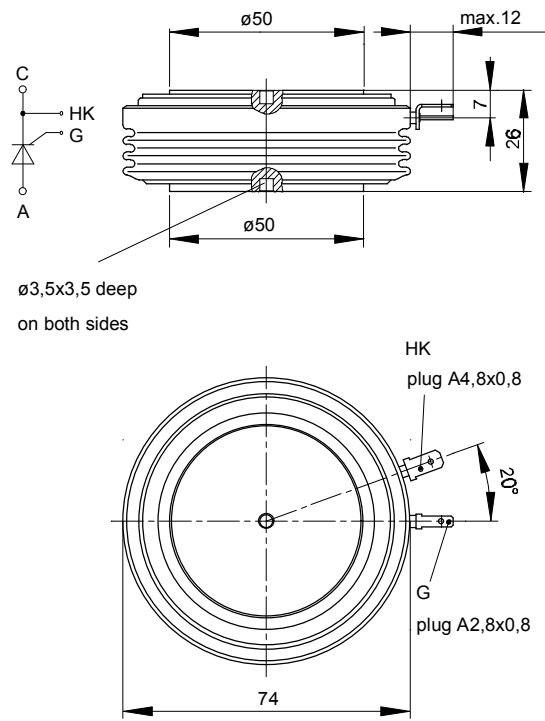
European Power-
Semiconductor and
Electronics Company

Marketing Information

T 1189 N



T 1190 N



T 1189 N T 1190 N

Elektrische Eigenschaften

Höchstzulässige Werte

Periodische Vorwärts- und Rückwärts-Spitzenperrspannung

Vorwärts-Stoßspitzenperrspannung

Rückwärts-Stoßspitzenperrspannung

Durchlaßstrom-Grenzeffektivwert

Dauergrenzstrom

Stoßstrom-Grenzwert

Grenzlastintegral

Kritische Stromsteilheit

Kritische Spannungssteilheit

Electrical properties

Maximum rated values

repetitive peak forward off-state and reverse voltages

$$t_{vj} = -40^\circ\text{C} \dots t_{vj \max}$$

V_{DRM}, V_{RRM} 1200 1400 1600
1800

V

non-repetitive peak forward off-state voltage

$$t_{vj} = -40^\circ\text{C} \dots t_{vj \max}$$

$V_{DSM} = V_{DRM}$ 1200 1400 1600
1800

V

non-repetitive peak reverse voltage

$$t_{vj} = +25^\circ\text{C} \dots t_{vj \max}$$

$V_{RSM} = V_{RRM}$ 1300 1500 1700
1900

V

Durchlaßstrom-Grenzeffektivwert

RMS on-state current

I_{TRMSM} 2800

A

Dauergrenzstrom

average on-state current

I_{TAVM} 1190

A

$$t_c = 85^\circ\text{C}$$

$$t_c = 53^\circ\text{C}$$

$$1800$$

A

surge current

$$t_{vj} = 25^\circ\text{C}, t_p = 10 \text{ ms}$$

I_{TSM} 25500

A

$$t_{vj} = t_{vj \max}, t_p = 10 \text{ ms}$$

$$22500$$

A

$I^2 t$ -value

$$t_{vj} = 25^\circ\text{C}, t_p = 10 \text{ ms}$$

$I^2 t$ 3,25 . 20⁶

A²s

$$t_{vj} = t_{vj \ max}, t_p = 10 \text{ ms}$$

2,53 . 20⁶

A²s

Kritische Stromsteilheit

critical rate of rise of on-state current

$$v_D \leq 67\%, V_{DRM}, f = 50 \text{ Hz}$$

(di_T/dt)_{cr} 200

A/ μ s

$$i_{GM} = 1 \text{ A}, di_G/dt = 1 \text{ A}/\mu\text{s}$$

Kritische Spannungssteilheit

critical rate of rise of off-state voltage

$$t_{vj} = t_{vj \ max}, v_D = 67\% V_{DRM}$$

(dv/dt)_{cr} 1000

V/ μ s

Charakteristische Werte

Durchlaßspannung

Characteristic values

on-state voltage

$$t_{vj} = t_{vj \ max}, i_T = 5400 \text{ A}$$

v_T max. 2,05

V

Schleusenspannung

threshold voltage

$$t_{vj} = t_{vj \ max}$$

$V_{T(TO)}$ 0,9

V

Ersatzwiderstand

slope resistance

$$t_{vj} = t_{vj \ max}$$

r_T 0,19

m Ω

Zündstrom

gate trigger current

$$t_{vj} = 25^\circ\text{C}, v_D = 6 \text{ V}$$

I_{GT} max. 250

mA

Zündspannung

gate trigger voltage

$$t_{vj} = 25^\circ\text{C}, v_D = 6 \text{ V}$$

V_{GT} max. 2

V

Nicht zündender Steuerstrom

gate non-trigger current

$$t_{vj} = t_{vj \ max}, v_D = 6 \text{ V}$$

I_{GD} max. 200

mA

$$t_{vj} = t_{vj \ max}, v_D = 0,5 V_{DRM}$$

max. 10

mA

Nicht zündende Steuerspannung

gate non-trigger voltage

$$t_{vj} = t_{vj \ max}, v_D = 0,5 V_{DRM}$$

V_{GD} max. 0,2

V

Haltestrom

holding current

$$t_{vj} = 25^\circ\text{C}, v_D = 6 \text{ V}, R_A = 2 \Omega$$

I_H max. 500

mA

Einraststrom

latching current

$$t_{vj} = 25^\circ\text{C}, v_D = 6 \text{ V}, R_{GK} \geq 10 \Omega$$

I_L max. 2500

mA

Vorwärts- und Rückwärts-Sperrstrom

forward off-state and reverse currents

$$t_{vj} = t_{vj \ max}, v_D = V_{DRM}, v_R = V_{RRM}$$

i_D, i_R max. 150

mA

Zündverzug

gate controlled delay time

$$t_{vj} = 25^\circ\text{C}, i_{GM} = 1 \text{ A}, di_G/dt = 1 \text{ A}/\mu\text{s}$$

t_{gd} max. 4

μ s

Freiwerdezeit

circuit commutated turn-off time

siehe Techn. Erl./see Techn. Inf.

t_q typ. 240

μ s

Thermische Eigenschaften

Innerer Wärmewiderstand für beidseitige Kühlung

Thermal properties

thermal resistance, junction to case for two-sided cooling

$$\Theta = 180^\circ \text{ el, sin}$$

R_{thJC} max. 0,0230

°C/W

für anodenseitige Kühlung

for anode-sided cooling

$$\Theta = 180^\circ \text{ el, sin}$$

max. 0,0210

°C/W

für kathodenseitige Kühlung

for cathode-sided cooling

$$\Theta = 180^\circ \text{ el, sin}$$

$R_{thJC(A)}$ max. 0,0395

°C/W

$$DC$$

max. 0,0375

°C/W

Übergangs-Wärmewiderstand

thermal resistance, case to heatsink

beidseitig/two-sided
einseitig/one-sided

R_{thCK} max. 0,0035

°C/W

$$DC$$

max. 0,0070

°C/W

Höchstzul. Sperrsichttemperatur

max. junction temperature

$$t_{vj \ max}$$

125

°C

Betriebstemperatur

operating temperature

$$t_{cop}$$

-40...+125

°C

Lagertemperatur

storage temperature

$$t_{stg}$$

-40...+150

°C

Mechanische Eigenschaften

Si-Elemente mit Druckkontakt

Mechanical properties

Si-pellet with pressure contact

Anpreßkraft

clamping force

$$T 1189 \text{ N/T } 1190 \text{ N}$$

F 16...32

kN

Gewicht

weight

$$T 1189 \text{ N/T } 1190 \text{ N}$$

G typ. 520/580

g

Kriechstrecke

creepage distance

$$T 1189 \text{ N/T } 1190 \text{ N}$$

32/30

mm

Feuchtekategorie

humidity classification

$$DIN 40040$$

C

Schwingfestigkeit

vibration resistance

$$f = 50 \text{ Hz}$$

50

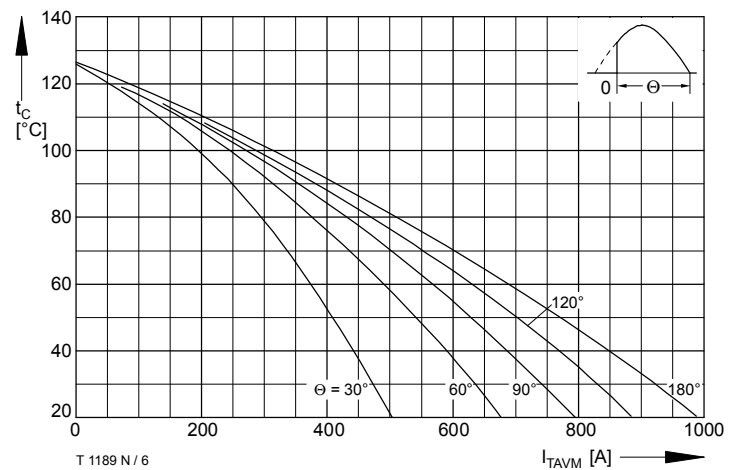
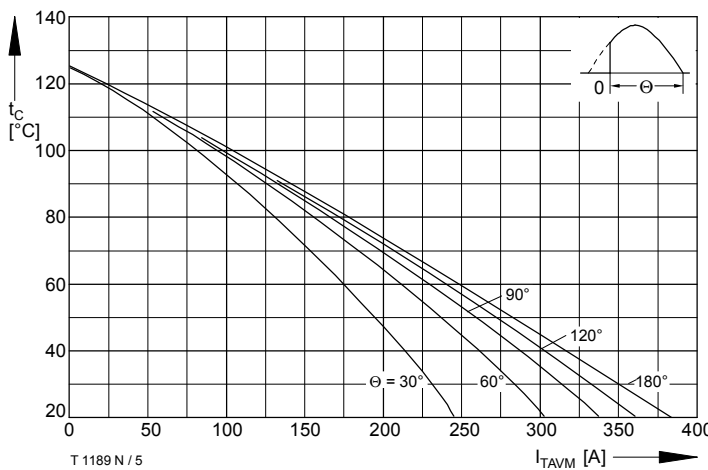
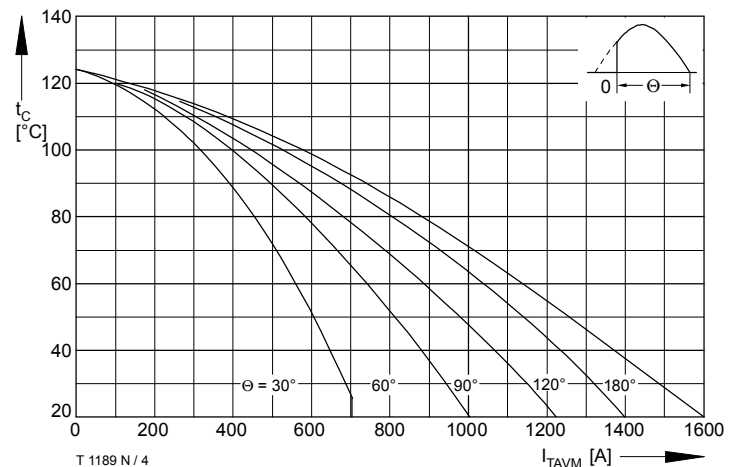
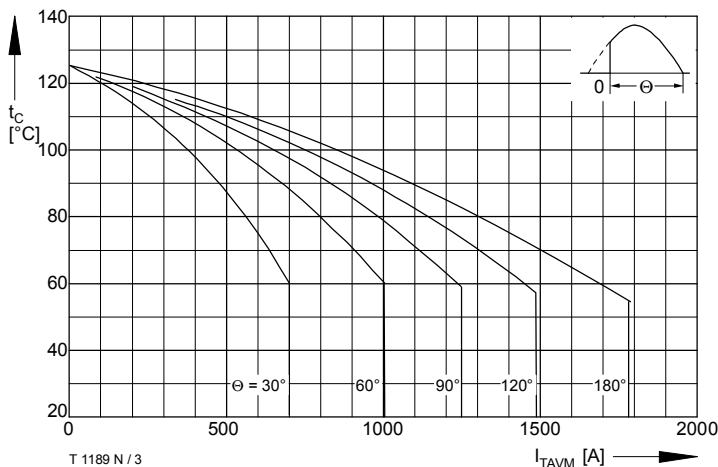
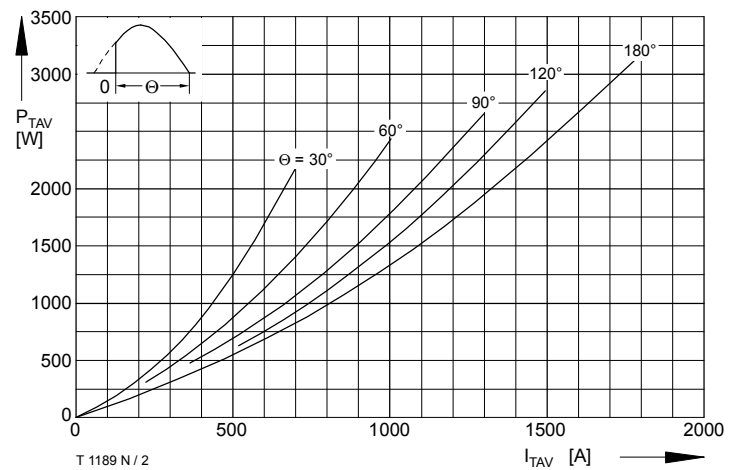
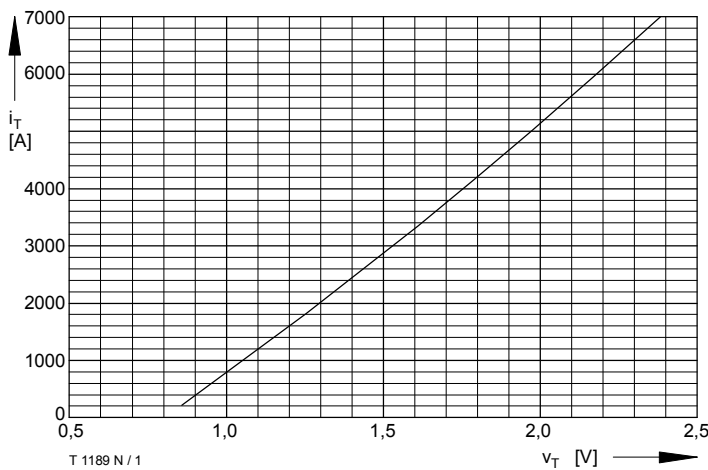
m/s²

Maßbild, anliegend

outline, attached

$$DIN 41814-155B4$$

T 1189 N, T 1190 N



T 1189 N, T 1190 N

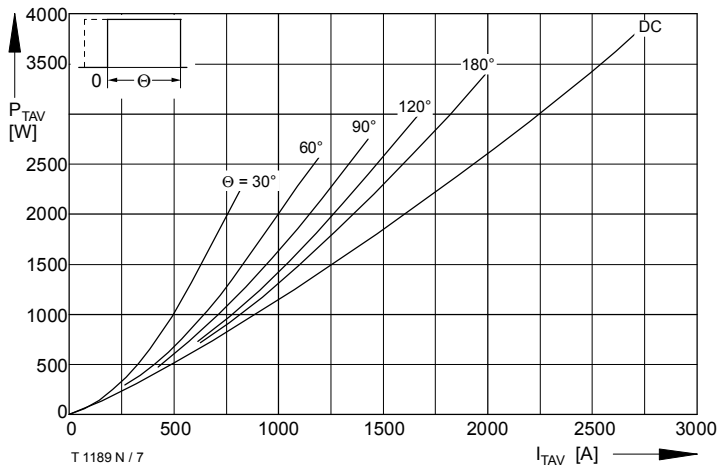


Bild / Fig. 7
Durchlaßverlustleistung / On-state power loss $P_{TAV} = f(I_{TAV})$
Parameter: Stromflußwinkel / Current conduction angle θ

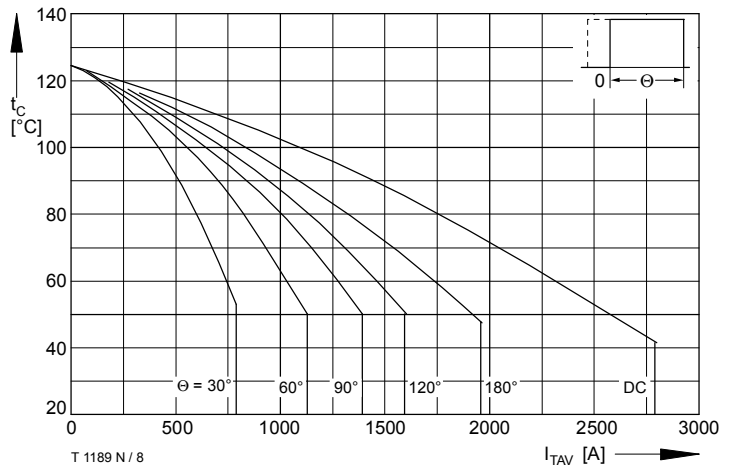


Bild / Fig. 8
Höchstzulässige Gehäusetemperatur / Max. allowable case temperature $t_C = f(I_{TAVM})$
Beidseitige Kühlung / Two-sided cooling
Parameter: Stromflußwinkel / Current conduction angle θ

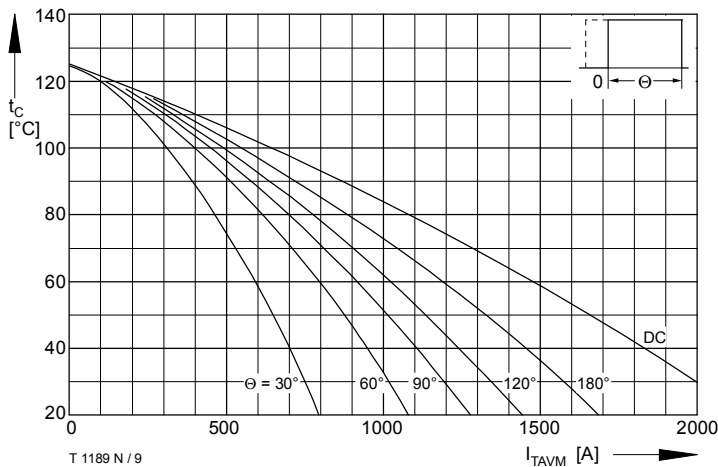


Bild / Fig. 9
Höchstzulässige Gehäusetemperatur / Max. allowable case temperature $t_C = f(I_{TAVM})$
Anodenseitige Kühlung / Anode-sided cooling
Parameter: Stromflußwinkel / Current conduction angle θ

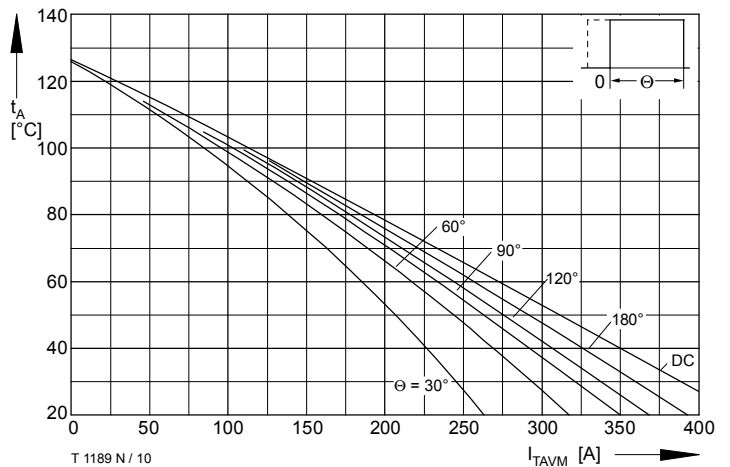


Bild / Fig. 10
Höchstzulässige Kühlmitteltemperatur / Max. allowable cooling medium temperatur $t_A = f(I_{TAVM})$
Luftselbstkühlung / Natural air-cooling
Kühlkörper / Heatsink: K0.55F
Parameter: Stromflußwinkel / Current conduction angle θ

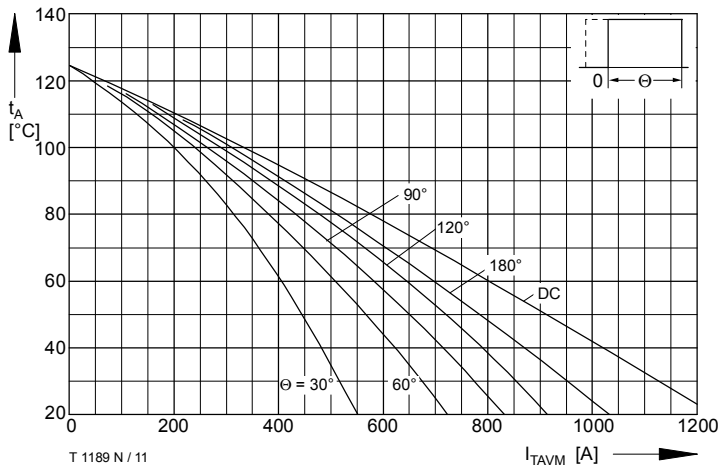


Bild / Fig. 11
Höchstzulässige Kühlmitteltemperatur / Max. allowable cooling medium temperatur $t_A = f(I_{TAVM})$
Verstärkte Luftkühlung / forced air cooling
Kühlkörper / Heatsink: K0.05F, $V_L = 120$ l/s
Parameter: Stromflußwinkel / Current conduction angle θ

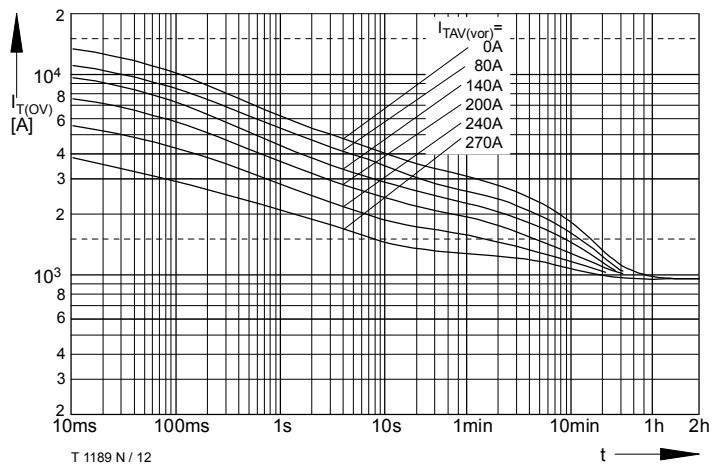


Bild / Fig. 12
Überstrom / Overload on-state current $I_{T(OV)} = f(t)$
Luftselbstkühlung / Natural air-cooling, $t_A = 45^\circ\text{C}$
Kühlkörper / Heatsink: K0.55F
Parameter: Vorlaststrom / Pre-load current $I_{TAV(vor)}$

T 1189 N, T 1190 N

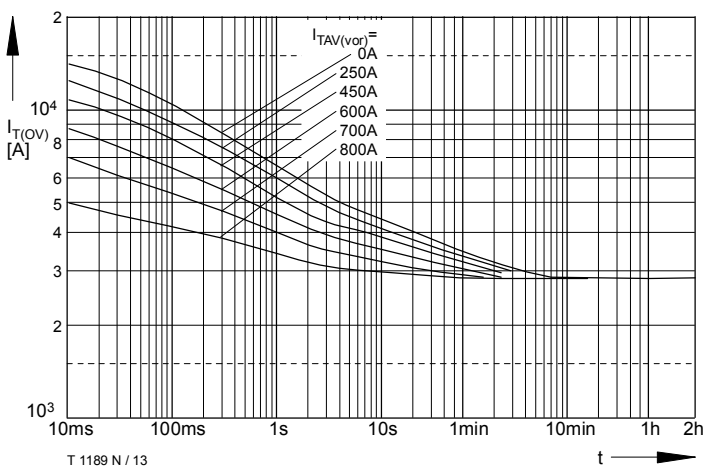


Bild / Fig. 13

Überstrom / Overload on-state current $I_{T(OV)} = f(t)$
Verstärkte Luftkühlung / Forced air-cooling, $t_A = 35^\circ\text{C}$
Kühlkörper / Heatsink: K0.05F, $V_L = 120 \text{ l/s}$
Parameter: Vorlaststrom / Pre-load current $I_{TAV(vor)}$

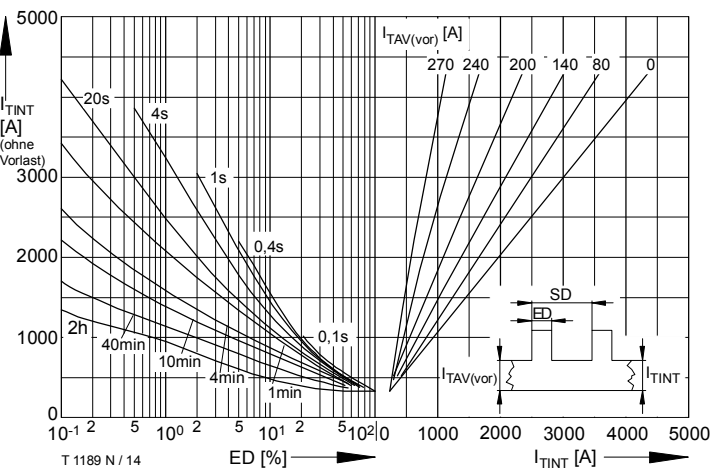


Bild / Fig. 14

Höchstzulässiger Durchlaßstrom bei Aussetzbetrieb / Max. allowable on-state current at intermittent operation $I_{TINT} = f(ED)$
Luftselbstkühlung / Natural air-cooling, $t_A = 45^\circ\text{C}$
Kühlkörper / Heatsink: K0.05F
Parameter: Spieldauer / Cycle duration SD
Vorlaststrom / Pre-load current $I_{TAV(vor)}$

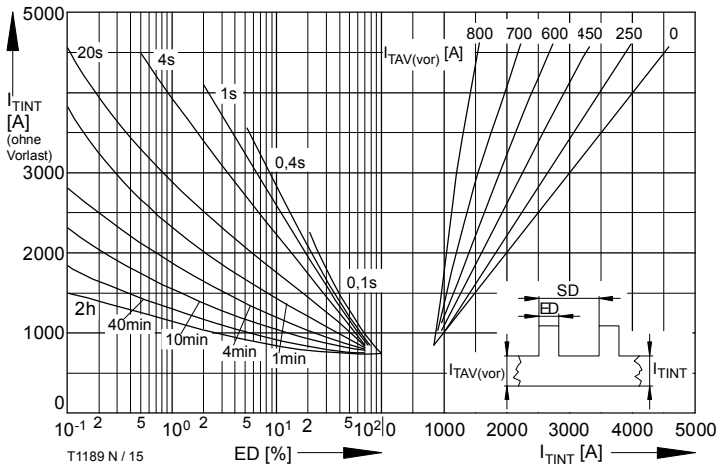


Bild / Fig. 15

Höchstzulässiger Durchlaßstrom bei Aussetzbetrieb / Max. allowable on-state current at intermittent operation $I_{TINT} = f(ED)$
Verstärkte Luftkühlung / Forced air-cooling, $t_A = 35^\circ\text{C}$
Kühlkörper / Heatsink: K0.05F, $V_L = 120 \text{ l/s}$
Parameter: Spieldauer / Cycle duration SD
Vorlaststrom / Pre-load current $I_{TAV(vor)}$

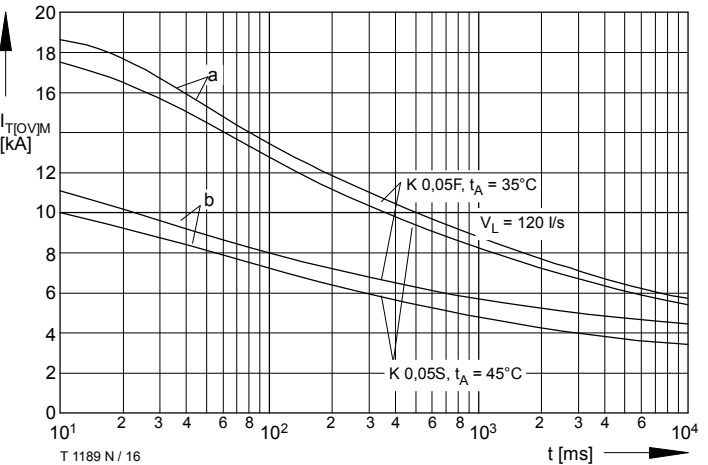


Bild / Fig. 16

Grenzstrom / Max. overload on-state current $I_{T(OV)M} = f(t)$, $V_{RM} = 0.8 V_{RRM}$
Beidseitige Kühlung / Two-sided cooling
Kühlkörper / Heatsink: K0.55F
Belastung aus / Surge current occurs:
a - Leerlauf / No-load conditions
b - Betrieb mit Dauergrenzstrom / During operation at max. average on-state current I_{TAVM}

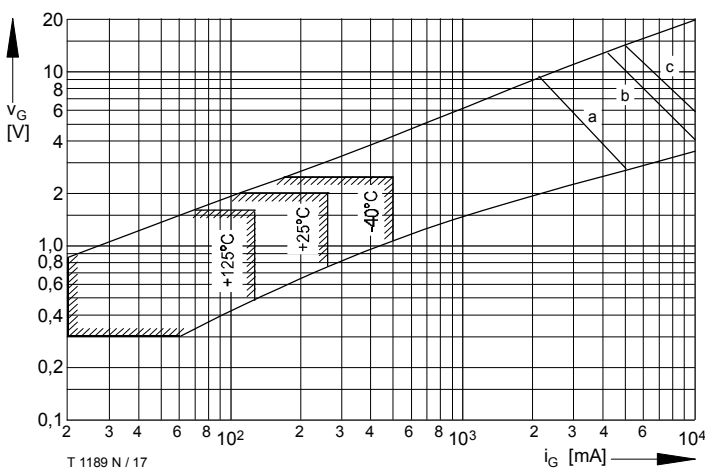


Bild / Fig. 17

Steuercharakteristik mit Zündbereichen / Gate characteristic with triggering areas $v_G = f(i_G)$, $V_D = 6 \text{ V}$
Parameter:
Steuerimpulsdauer / trigger puls duration t_g [ms] 10 1 0,5
Höchstzulässige Spitzensteuerverlustleistung / Max. rated peak gate power dissipation [W] 20 40 60

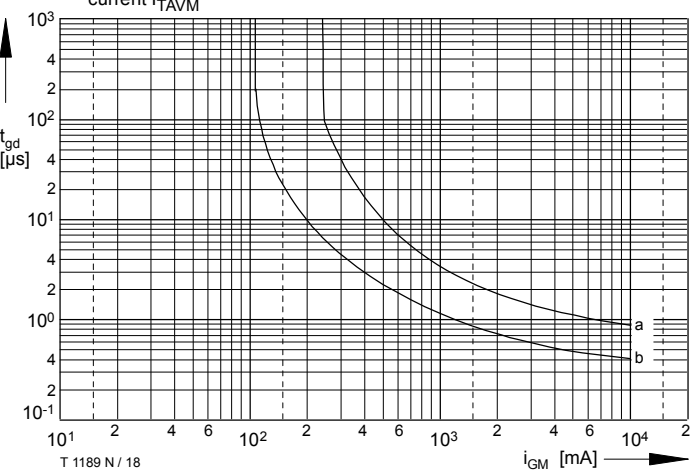


Bild / Fig. 18

Zündverzug / Gate controlled delay time $t_{gd} = f(i_{GM})$
 $t_{vj} = 25^\circ\text{C}$, $d_i_{G}/dt = i_{GM}/1\mu\text{s}$
a - Maximaler Verlauf / Limiting characteristic
b - Typischer Verlauf / Typical characteristic

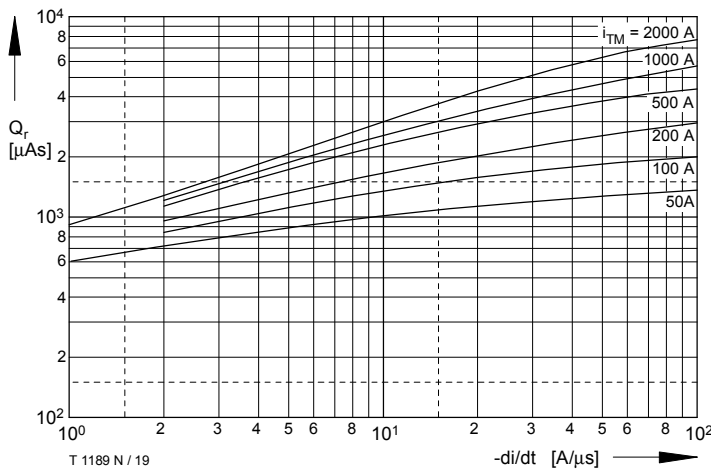


Bild / Fig. 19
Sperrverzögerungsladung / Recovered charge $Q_r = f(-di/dt)$
 $t_{vj} = t_{vj \max}$, $V_R = 0,5 V_{RRM}$, $V_{RM} = 0,8 V_{RRM}$
Parameter: Durchlaßstrom / On-state current i_{TM}

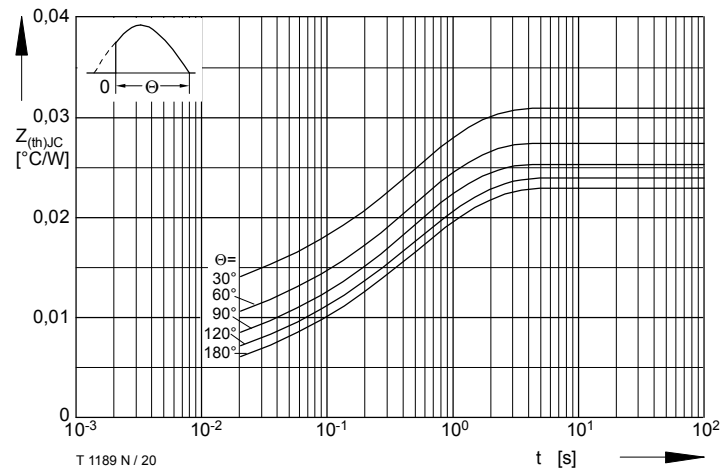


Bild / Fig. 20
Transienter innerer Wärmewiderstand / Transient thermal impedance
 $Z_{thJC} = f(t)$
Beidseitige Kühlung / Two-sided cooling
Parameter: Stromflußwinkel / current conduction angle θ

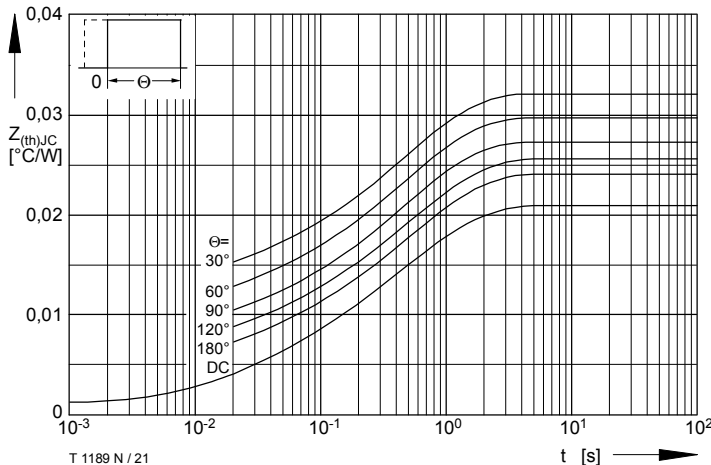


Bild / Fig. 21
Transienter innerer Wärmewiderstand / Transient thermal impedance
 $Z_{thJC} = f(t)$
Beidseitige Kühlung / Two-sided cooling
Parameter: Stromflußwinkel / current conduction angle θ

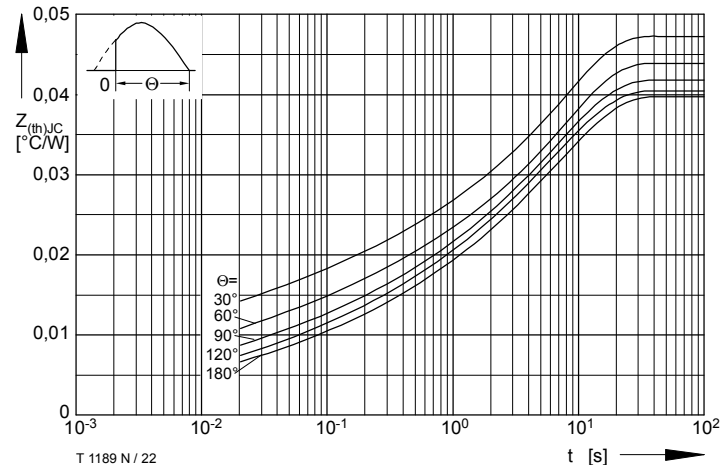


Bild / Fig. 22
Transienter innerer Wärmewiderstand / Transient thermal impedance
 $Z_{thJC} = f(t)$
Anodenseitige Kühlung / Anode-sided cooling
Parameter: Stromflußwinkel / current conduction angle θ

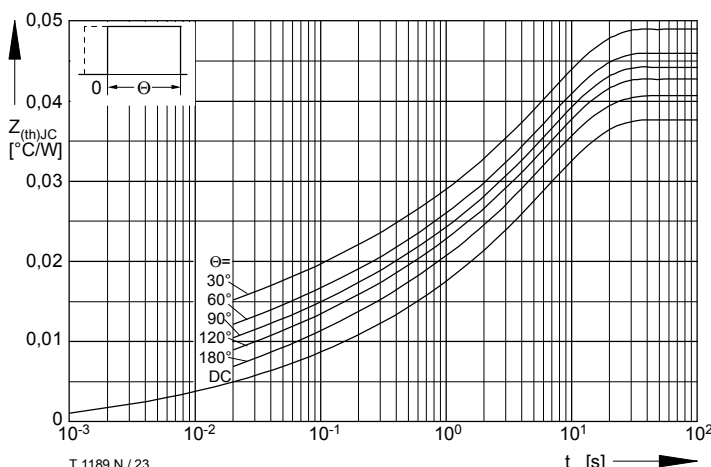


Bild / Fig. 23
Transienter innerer Wärmewiderstand / Transient thermal impedance
 $Z_{thJC} = f(t)$
Anodenseitige Kühlung / Anode-sided cooling
Parameter: Stromflußwinkel / current conduction angle θ

Analytische Elemente des transienten Wärmewiderstandes Z_{thJC} pro Zweig für DC
Analytical elements of transient thermal impedance Z_{thJC} per arm for DC

Beidseitig / Two-sided

Pos. n	1	2	3	4	5
$R_{thn} [\text{°C/W}]$	0,00113	0,0021	0,00229	0,00703	0,00845
$\tau_n [\text{s}]$	0,00189	0,0065	0,0456	0,23	1,134

Anodenseitig / Anode-sided

Pos. n	1	2	3	4	5
$R_{thn} [\text{°C/W}]$	0,00066	0,00291	0,0037	0,00783	0,0224
$\tau_n [\text{s}]$	0,00138	0,00614	0,0765	0,374	6,66

Kathodenseitig / Cathode-sided

Pos. n	1	2	3	4	5
$R_{thn} [\text{°C/W}]$	0,00127	0,0026	0,00623	0,0046	0,0333
$\tau_n [\text{s}]$	0,00201	0,00843	0,126	0,57	7,83

Analytische Funktion / Analytical function:

$$Z_{thJC} = \sum_{n=1}^{n_{\max}} R_{thn} (1 - e^{-\frac{t}{\tau_n}})$$